

شبیه‌سازی هیدرودینامیک و انتقال جرم دو فاز امتزاج ناپذیر در میکروکanal Y-Y و حلزونی شکل و بهینه‌سازی پارامترهای مؤثر

حمید اسدی

دانشکده فنی، دانشگاه تهران، تهران، ایران

یونس امینی، جواد کریمی ثابت*

پژوهشکده چرخه سوخت هسته‌ای، پژوهشگاه علوم و فنون هسته‌ای، تهران، ایران

چکیده: میکروسیال، علم و تکنولوژی است که سیال را در حجم 10^{-18} تا 10^{-10} لیتر با استفاده از کانال‌هایی با اندازه‌های در مقیاس میکرو، مورد بررسی قرار می‌دهد. از مهم‌ترین کاربردهای این تکنولوژی، تجزیه و تحلیل جریان سیال است. فرایند‌های جداسازی در دستگاه‌های میکروفلورئیدیکی در دو دهه گذشته مورد توجه فراوانی قرار گرفته است. در بین فرایند‌های جداسازی گوناگون، استخراج مایع-مایع به طور ویژه از برتری‌هایی چون مسافت نفوذ مولکولی پایین و سطح ویژه فصل مشترک بالا که منجر به انتقال جرم مؤثری در دستگاه‌های میکروفلورئیدیکی می‌شود، برخوردار است. میکروفلورئیدیک فناوری ارزشمندی برای جداسازی یون‌ها و ایزوتوپ‌های پایدار فلزی می‌تواند باشد. ایزوتوپ‌های پایدار برای پژوهش در مورد قابلیت دسترسی به مواد معدنی و متابولیسم مفید هستند. از کاربردهای ایزوتوپ پایدار می‌توان به عنوان ردیاب بدون تابش پرتو، تشخیص بیماری و تصویربرداری هسته‌ای نام برد. این ایزوتوپ‌ها همچنین می‌توانند به عنوان ماده اصلی یا ماده خام برای تولید رادیو داروها، آنالیز بیوشیمیابی، رادیوتراپی و کاربرد در علوم محیط‌زیستی، زمین‌شناسی و باستان‌شناسی استفاده شوند. در این پژوهش، جداسازی یون فلزی کلسیم به عنوان مقدمه‌ای بر جداسازی ایزوتوپی کلسیم با استفاده از روش میکروفلورئیدیک مورد مطالعه قرار گرفت. بدین منظور، شبیه‌سازی استخراج مایع-مایع و تکنولوژی میکروفلورئیدیک برای استخراج و جداسازی یون کلسیم به عنوان روشنی نوین در هم ادغام شده‌اند. در این راستا با هدف ارزیابی امکان انجام شبیه‌سازی استخراج یون کلسیم در سامانه میکروفلورئیدیک، نسبت سرعت‌های دوفاز به گونه‌ای انتخاب شد که الگوی جریان درون میکروکanal به صورت موازن باشد. نخست با روش تعیین تراز محل دقیق فصل مشترک تعیین شد، سپس با استفاده از مدل انتقال اجزاء رقیق میزان انتقال جرم از فاز آبی به آلی سنجیده شد. علاوه بر این برای مطالعه تأثیر هندسه در میزان استخراج، هندسه حلزونی شکل نیز مورد بررسی قرار گرفت. درصد استخراج در هندسه نوین محاسبه و با میکروکanal Y-Y شکل مقایسه شد. در میکروکanal Y-Y شکل بازدهی استخراج $60/062\%$ می‌باشد در حالی که در هندسه حلزونی در شرایط بهینه بازدهی $74/98\%$ به دست آمد. بنابراین با تغییر هندسه میکروکanal از Y-Y به حلزونی میزان انتقال جرم $19/19\%$ بهبود می‌یابد.

+Email: j_karimi@alum.sharif.edu, Jvkarimi@aeoi.org.ir

* عهده‌دار مکاتبات

واژگان کلیدی: میکروکانال حنوزنی، انتقال جرم، دینامیک سیال‌های محاسبه‌ای، استخراج مایع-مایع، جریان دوفازی

KEYWORDS: Spiral microchannel, Mass transfer, Computational fluid dynamics, Liquid-liquid extraction, Two-phase flow

رفتار جریان‌ها در میکروکانال در جریان چند فازی به نیروهای گوناگونی مانند نیروهای لزج، نیروی اینرسی، گرانش، کشش سطحی، فشار و غیره بستگی دارد. اعداد بی بعد بیان کننده نسبت اثرهای فیزیکی بوده که راهی برای ساده‌سازی مسائل پیچیده می‌باشد. الگوهای جریان در میکروکانال‌ها پارامتر تعیین کننده در میزان انتقال جرم می‌باشد [۱۲]. به علاوه در حین استفاده از جریان‌های موازی برای تماس دو فاز، تعیین شرایطی که جداسازی فازهای غیرقابل امتزاج در میکروکانال انجام شود، ضروری به نظر می‌رسد. با تشکیل رژیم‌های گوناگون می‌توان اثرها نیروی ویسکوز، کشش سطحی و اینرسی را مورد بررسی قرار داد. در بررسی جریان‌های دوفازی، نیروهای کشش بین سطحی ($\sim \rho u^2 / d$) به دلیل وابستگی به قطر کانال از مؤثرترین نیروهای تعیین کننده الگوهای جریان هستند. از سوی نیروی اینرسی ($\sim \rho u^2$) نیز با وجود داشتن ترم سرعت با توان دوم، الگوی جریان را زیر تأثیر قرار می‌دهد ولی جاذبه ($H \sim \rho g$) به طور معمول در مقایسه میکرو صرف نظر می‌شود. بنابراین رقابت بین نیروهای تأثیرگذار بر الگوی جریان به وسیله اعداد بی بعد مویننگی، رینولدز و ویر قابل تعیین است [۱۳، ۱۴]. عدد مویننگی: یکی از اعداد بی بعد مهم در میکروکانال‌ها که برای فهم الگوهای جریان چند فازی استفاده می‌شود، عدد مویننگی می‌باشد. این عدد به صورت معادله (۱) تعریف می‌شود.

$$Ca_m = \frac{\mu_m u_m}{\gamma} \quad (1)$$

عدد رینولدز^۱: این عدد بیانگر نسبت نیروهای اینرسی به نیروهای لزج یا همان ویسکوز بوده و برای بیان نوع رژیم جریان استفاده می‌شود. کاربرد مهم این عدد در تعیین آرام یا آشفته بودن جریان است.

$$Re_m = \frac{\rho_m u_m D_h}{\mu_m} \quad (2)$$

عدد ویر^۲: عدد ویر برای پیش‌بینی شکست فصل مشترک زیر نیروهای اینرسی قوی مورد استفاده قرار می‌گیرد. در واقع عدد ویر به صورت نسبت نیروهای اینرسی به نیروهای کشش بین سطحی تعریف می‌شود [۱۵].

$$We_m = Re_m * Ca_m \quad (3)$$

(۱) Capillary number

(۲) Reynolds number

علمی - پژوهشی

مقدمه

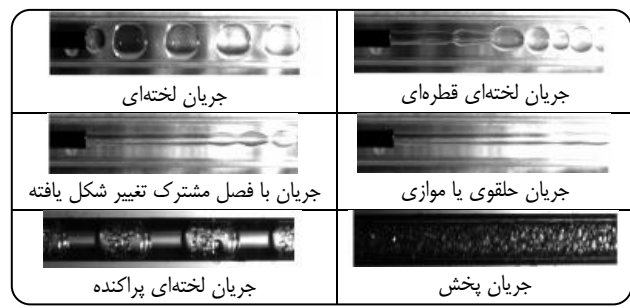
یکی از فناوری‌های پرکاربرد و نوین که در دنیا برای انجام آزمایش‌های دقیق و حفاظت شده بر روی سیال‌ها در مقیاس‌های میکرو استفاده می‌شود، فناوری میکروفلوبیدیک است. میکروفلوبیدیک علمی است که به مطالعه جریان سیال در کانال‌هایی به اندازه‌های میکرومتر جایی که نیروهای کشش سطحی و گرانشی بر اثرها جاذبه غلبه می‌کنند، می‌پردازد. از این تکنولوژی برای انجام عملیات گوناگون بر روی سیال‌ها و آنالیز آن‌ها استفاده می‌شود. میکروفلوبیدیک کاربردهای فراوانی مانند تعلیق، کپسوله کردن دارو، علوم پزشکی، بیوتکنولوژی، سامانه‌های میکروالکترومکانیک، سنتز، بلوریزاسیون، واکنش‌های شیمیایی، فراورده‌های آرایشی بهداشتی و مواد غذایی دارد [۴-۱۱]. از برتری‌های ابزارهای میکروفلوبیدیک می‌توان به موارد زیر اشاره کرد [۸-۵].

- توانایی انجام فرایندها در حجم نمونه کم
- کاهش دخالت نیروی انسانی و کاهش میزان خطای انسانی
- تکرار پذیری پالاتر
- پاسخ سریع و هزینه کم
- کاهش مصرف انرژی
- بالا بودن میزان انتقال گرما

اخیرا توسعه سامانه‌های میکروفلوبیدیک پیوسته، برای افزایش بازده جداسازی یک جزء در مقایسه با روش‌های دیگر بسیار مورد توجه قرار گرفته است [۷، ۹]. میکروفلوبیدیک به عنوان یک فناوری خلیی مهم به طور گسترده در فرایندهای زیستی، شیمیایی و مهندسی کاربرد دارد. این فناوری هم از قابلیت کوچک بودن اندازه‌ها و هم از ویژگی‌های میکروکانال‌ها مانند ایجاد جریان آرام و اختلاط سریع به طور همزمان استفاده می‌کند و با توجه به ایجاد جریان آرام، استفاده برای جریان‌های لایه‌ای امکان‌پذیر می‌شود. در جداسازی یون‌ها و ایزوتوپ‌های فلزی، برای دستیابی به انتخاب‌پذیری بالا از ایزوتوپ دلخواه، فرایند واکنش شیمیایی می‌تواند در محیط اختلاط سریع مانند سامانه میکروفلوبیدیکی انجام شود [۱۰، ۱۱]. در ادامه به الگوهای جریان درون میکروکانال اشاره می‌شود.

(۱) Reynolds number

کوانتومی، تقطیر، سانتریفیوژ و ... که با حالت گازی به تغییر ماده می‌پردازند، نمی‌تواند برای تغییر ایزوتوپ‌های کلسیم استفاده شوند، زیرا کار با کلسیم در حالت گازی دشوار است. از سویی دیگر تغییر ایزوتوپ به روش الکترومغناطیسی نیز بسیار هزینه بر می‌باشد [۸]. با توجه به مشکل‌های بالا روش مناسب برای جداسازی یون و ایزوتوپ‌های کلسیم فرایند استخراج مایع – مایع می‌باشد، که دو سیال آبی و آلی امتزاج ناپذیر به منظور استخراج گونه مورد نظر در مجاورت هم قرار می‌گیرند [۷، ۲۰، ۱۸]. مطالعه پارامترهای مؤثر بر فرایندهای استخراج یون‌های فلزی با استفاده از سامانه‌های میکروسیالی، شیوه دسترسی ما به ایزوتوپ‌های دلخواه را مشخص می‌کند. در همین راستا پژوهشگران به مطالعه جداسازی یون‌های میکروفلئیدیکی پرداخته‌اند [۲۱]. فرهانی و همکاران [۲۲] به مطالعه استخراج یون کادمیم با استفاده از حلال آلی و بررسی پارامترهای مؤثر در میکروکانال Y-شکل پرداخته‌اند. عبداللهی و همکاران [۱۸] در یک کار تجربی به مطالعه استخراج ایزوتوپ کلسیم ۴۸ در سامانه میکروفلئیدیک پرداختند و با استفاده از طراحی آزمایش باکس‌بنکن، شرایط بهینه بازدهی استخراج را بررسی کردند که در این شرایط بازدهی ۶۲/۲۸٪ را گزارش کردند. مخصوصی و همکاران [۲۳] به مطالعه تأثیر تغییر هندسه از Y شکل به حلوانی، در استخراج مایع–مایع یون کلسیم با استفاده از سامانه میکروفلئیدیک پرداختند. آن‌ها با استفاده از طراحی آزمایش و روش سطح پاسخ پارامترهای مؤثر بر فرایند را مورد مطالعه قرار دادند. نتیجه‌ها این مطالعه نشان می‌دهد که میکروکانال حلوانی این توانایی را دارد که با بهینه‌سازی شرایط عملیاتی در سرعت جریان بالاتر از سرعت جریان در میکروکانال Y شکل به استخراج تعادلی دست یابد. فروزان و همکاران [۲۴] استخراج مایع–مایع یون فلزی کلسیم و پارامترهای مؤثر بر آن را به کمک فناوری میکروفلئیدیک بررسی کردند. در بررسی هیدرودینامیکی این پژوهش، همخوانی خوب نتیجه‌های شبیه‌سازی به روش VOF با مشاهده‌های تجربی در تعیین الگوهای گوناگون جریان دو فازی مشاهده شد. استفاده از استخراج میکروفلئیدیکی در این مطالعه گزینه مناسبی برای جایگزینی استخراج به روش‌های دیگر معرفی شده است. هیبارا و همکاران [۲۵] از آنالیز بی‌بعدی برای تعیین



شکل ۱ - الگوهای جریان در میکروکانال‌ها [۱۶]

زیرنویس m به معنای مقدار متوسط از دو فاز می‌باشد که توسط پارامترهای زیر تعریف شده‌اند.

$$u_m = \frac{Q_{aq} + Q_{org}}{w * D} \quad (4)$$

$$\rho_m = \left(\frac{\Theta_{aq}}{\rho_{aq}} + \frac{1 - \Theta_{aq}}{\rho_{org}} \right)^{-1} \quad (5)$$

$$\mu_m = \left(\frac{\Theta_{aq}}{\mu_{aq}} + \frac{1 - \Theta_{aq}}{\mu_{org}} \right)^{-1} \quad (6)$$

$$\theta_{aq} = \frac{Q_{aq}}{Q_{aq} + Q_{org}} \quad (7)$$

$$D_h = \frac{2(W * D)}{W + D} \quad (8)$$

در این معادله‌ها u ، ρ و μ به ترتیب سرعت خطی، دانسیته، گرانوی سیال‌ها، D_h و W قطر هیدرولیکی، عرض و عمق میکروکانال شکل می‌باشند.

بسته به هندسه میکروکانال، سرعت جریان، ویژگی‌های سیال‌ها و ... شش نوع رژیم جریان گوناگون در میکروکانال‌ها قابل دیدن است. جریان لخته‌ای^۱، جریان لخته‌ای قطرهای^۲، جریان با فصل مشترک تغییر شکل یافته^۳، جریان حلقوی یا موازی^۴، جریان لخته‌ای پراکنده^۵ و جریان پخش شده که در شکل ۱ نمایش داده شده است. جریان موازی در شدت جریان‌های بالا و در درون میکروکانال‌های بدون ساختار درونی مشاهده می‌شود. در میکروکانال‌ها نیروی کشش سطحی و ویسکوز بر نیروی جاذبه غلبه کرده و دو مایع می‌توانند صرف نظر از دانسیته‌های ایشان در کنار یکدیگر حرکت کنند [۱۷، ۱۶].

جداسازی ایزوتوپ پایدار عمده‌تا با روش‌های الکترومغناطیسی، غربال‌گری کوانتومی، سانتریفیوژ گازی، تقطیر و لیزرهای مولکولی انجام می‌شود. در میان این روش‌ها، مواردی مانند غربال‌گری

(۱) Slug flow

(۲) Deformed interface flow

(۳) Slug-dispersed flow

(۴) Slug-drop flow

(۵) Annular flow

فاز آبی تغليظ می‌شود. در اين مطالعه ۲۰ ميلی‌لیتر فاز آبی محتواي کلسیم کلرید و ۲۰۰ ميلی‌لیتر فاز آلی کلروفرم و DC18C6 به مدت يك ساعت همزده شده و سپس فازها از همديگر جدا شدند. اين فرایند ۶ بار تكرار شد. آن‌ها نشان دادند که اندازه و شکل هسته نسبت به جرم هسته ايزوتوب در غني‌سازی ^{48}Ca ⁴⁸ تأثير کمتری دارد. روسان و همکاران [۲۹] يك ميكروکanal حلزونی ديفرانسيلي طراحی کردند که با استفاده از آن در قطرهای هييدروليکي مختلف کنترل پارامتر گردا به دين را مورد بررسی قرار دادند و جداسازی ميكروذرهای ۳ و ۱۰ μm در نرخ جريان ۳۰۰۰ $\mu\text{L/min}$ همراه با رينولز ۱۵۵ را گزارش کردند. سان و همکاران [۳۰] يك ميكروکanal حلزونی دوگانه، همراه با سطح مقطع ثابت را مورد بررسی قرار دادند. اين گروه در طی پژوهش‌های خود سلول‌های سلطانی را از خون، با نرخ جريان ۴۵۰ μm و 450Cell/min ۳/۳*۱۰۷ جدا کردند.

در اين پژوهش هدف شبیه‌سازی عددی (ديناميک سیال‌های محاسبه‌ای^۱ به روش المان محدود) هييدروديناميک جريان دو فازی و استخراج یون کلسیم توسط تراشه‌ی ميكروفلويديکي Y-Y و حلزونی شکل بين دو فاز می‌باشد. شبیه‌سازی انتقال جرم سامانه مایع-مایع شامل فاز آبی (آب و کلسیم کلرید) و فاز آلی (حلال بوتيل استات) می‌باشد و هندسه مطابق کار آزمایشگاهی عبداللهی و همکاران [۱۸] انتخاب شد. نتيجه‌های شبیه‌سازی با نتيجه‌های کار عبداللهی و همکاران اعتبار سنجی شد. اين شبیه‌سازی با توجه به داشتن تقارن در بعد سوم و به منظور صرفه‌جوبي در وقت و هزینه به صورت دو بعدی انجام شد. جريان مورد بررسی به صورت تراکم ناپذير، نيوتنی و آرام و همه دیواره‌ها به صورت ثابت و با فرض عدم لغش در نظر گرفته شد. مشخصه‌های سیال‌ها و غلظت گونه انتقال جرم نيز مطابق با کار عبداللهی و همکاران انتخاب شد. و سرانجام نتيجه‌ها با هم مقایسه شد و برای بهبود ميزان انتقال جرم، هندسه ميكروکanal شبیه‌سازی از Y-Y به حلزونی تغيير داده شد و ميزان بهبود در شبیه‌سازی محاسبه شد. نوآوري اين پژوهش بحث شبیه‌سازی انتقال جرم و بررسی تأثير تغيير هندسه به حلزونی می‌باشد.

روش مدل‌سازی

معادله‌های حاکم و شرایط مرزی و اولیه

روش المان محدود يکی از روش‌های عمومی حل عددی معادله‌های ديفرانسيلي جزئی در فضای دو بعدی و سه بعدی می‌باشد.

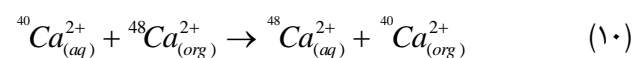
(۱) Computational fluid dynamics

وابستگی نیروهای موجود به اندازه‌های کanal و ويژگی‌های سیال استفاده کردند. این آنالیز فصل مشترك موازي و پايدار مایع-مایع در ميكروکanal‌هایي با اندازه‌ها چند صد ميكرومتر را تأييد می‌کند. در جريان‌های موازي یا لاييه‌اي، انتقال جرم بين فازهای مایع تنها بر مبنای نفوذ است؛ بنابراین، طول نفوذ L_{diff} نقش اساسی را ايفا می‌کند. زمان لازم برای نفوذ از معادله (۹) به دست می‌آيد [۸].

$$(9) \quad t_{diff} = \frac{L_{diff}^2}{D_{diff}}$$

که در آن D_{diff} ضريب نفوذ جزء منتقل شونده می‌باشد. لاييه‌های نازک مایع نفوذ اجزای استخراج شونده به سطح را تسريع می‌بخشند که در نتيجه آن راندمان استخراج افزایش می‌يابد. در مطالعه کيم و همکاران [۲۶] فرایند استخراج کمپلکس $\text{AL}^{3+}\text{-DHAB}$ از آب به ۱-بوتanol با الگوي جريان موازي در يك ميكروکanal پليمری با عرض ۲۰۰ ميكرومتر و عمق ۱۰ ميكرومتر انجام شده است. از آن جايی که اين کمپلکس در آب غير فلوئورسننت است ولی در روندن فلوئورسننت قوى می‌باشد؛ بنابراین مانيتور کردن موقعیت استخراج به وسیله طيف‌سنجی فلورسانس امکان پذير می‌باشد به گونه‌ای که شدت فلورسانس کمپلکس در فاز ۱-بوتanol در برای جريان و عرض کanal قابل اندازه‌گيري است.

در پژوهشي دیگر توسط زنیدارسيک پلازل و همکاران [۲۷] نتيجه‌ها به دست آمده با داده‌های تجربی مقايسه و دقت قابل قبولی داشت. در اين مطالعه، پروژسترون و ۱۱-الفـا هيدروكـسي پروژسترون به صورت پيوسته از آب به وسیله اتيل استات در يك ميكروراكتور شيشه‌ای به اندازه‌های ۲۰۰ ميكرومتر عرض، ۵۰ ميكرومتر عمق و ۳۳۲ ميلی‌متر طول استخراج شده است. در مدل ارایه شده جابه‌جايان در برای جريان و نفوذ در همه جهت‌ها در نظر گرفته شده است. گسيسته‌سازی به روش اختلاف محدود انجام شده است. الگوي جريان سه بعدی، پروفائل‌های سرعت دو فاز و همچنین پروفائل غلظت جزء استخراج شونده درون دو فاز محاسبه شده که هم‌خوانی خوبی با داده‌های تجربی داشتند. هازاما و همکاران [۲۸] برای اولين بار تغليظ ^{48}Ca توسط فرایند استخراج مایع-مایع با استفاده از کلسیم کلرید و DC18C6 را انجام دادند. آن‌ها واکنش تبادل شیمیابی تغليظ ^{48}Ca را به فرم زير ارایه کردند:



با توجه به واکنش تعادلی بالا ^{40}Ca در فاز آلی و ايزوتوب ^{48}Ca در

(۲) Finite element method

$$\Gamma = \{x \in \Omega \mid \varphi(x,t) = 0\} \quad (11)$$

تابع تعیین تراز $\varphi(x,t)$ عموماً به صورت تابع فاصله علامت دار^۲ نسبت به فصل مشترک تعریف می‌شود، بنابراین:

$$\varphi(x, t) = \begin{cases} +d(x, t), & x \in \Omega^- \\ 0, & x \in \Gamma \\ -d(x, t), & x \in \Omega^+ \end{cases} \quad (12)$$

که در آن:

$$d(x) = \min(|x - x\Gamma|) \quad (13)$$

و ریشه‌های φ به ازای میدان سرعت $u(x,t)$ توسط معادله زیر به دست آمده می‌شوند:

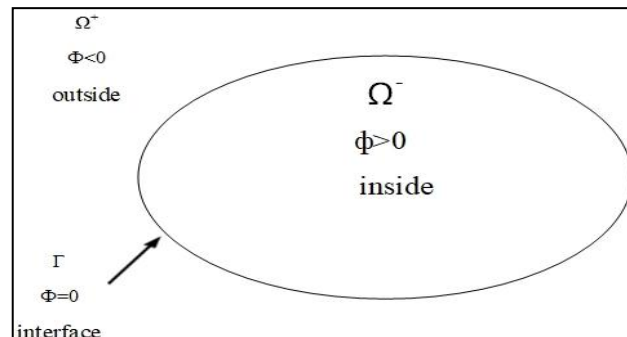
$$\partial_t u + u \cdot \nabla \varphi = 0 / \partial \varphi \quad (14)$$

با استفاده از فرمول بندی بالا می‌توان تغییرهای توپولوژیکی در فصل مشترک را به دست آورد. موقعیت فصل مشترک در زمان $t=0$ توسط حالت $\varphi(x,t)=0$ معادله تعیین تراز مربوطه تعیین می‌شود [۳۹]. روش تعیین تراز یک فناوری برای نشان دادن مرزها یا فصل مشترک متحرک با استفاده از یک شبکه ثابت است. این برای مسائلی مفید است همچون مسئله کنونی که دامنه محاسبه‌ای با یک مرز مشترک به دو دامنه تقسیم می‌شود. فصل مشترک سیال‌ها، با استفاده از یک تابع کلی، تابع تعیین تراز، نشان داده می‌شوند. در نرمافزار کامسول این تابع روان منعطف هست که در یک دامنه برابر صفر و در دیگری برابر یک است. این تابع در میان فصل مشترک به آرامی از صفر به یک انتقال می‌یابد.

معادله‌های فصل مشترک با حرکت مرز بین دو سیال در میدان سرعت u حل می‌شود:

$$\frac{\partial \phi}{\partial t} + u \cdot \nabla \phi = \gamma \nabla \left(\varepsilon \nabla \phi - \phi(1-\phi) \frac{\nabla \phi}{|\nabla \phi|} \right) \quad (15)$$

ترم‌های سمت چپ معادله ۱۵ حرکت صحیح سطح مشترک را نشان می‌دهد، در حالی که ترم‌های سمت راست، برای پایداری عددی ضروری هستند. پارامتر ε ضخامت ناحیه‌ای را تعیین می‌کند که به آرامی از صفر به یک حرکت می‌کند و به طور معمول از نظم اندازه عناصر شبکه برحوردار است. به طور پیش فرض ε در هر دامنه ثابت است و برابر با بزرگترین مقدار اندازه شبکه h هست. پارامتر γ میزان دوباره سازی، یا تثبیت عملکرد تعیین تراز را مشخص می‌کند. که برای هر مسئله خاص باید تنظیم شود. اگر γ خیلی



شکل ۲ - نمایش فصل مشترک Γ توسط روش تعیین تراز [۳۹]

به منظور حل یک سامانه بر اساس روش المان محدود، سامانه مورد مطالعه به قسمت‌های کوچک‌تر و ساده‌تری تقسیم می‌شود. این گسسته‌سازی مستلزم تعریف سامانه به صورت یک شبکه می‌باشد. در واقع شبکه از مجموعه‌ای از نقاط گستته برای تبدیل سامانه به بازه عددی برای حل مسئله است. فرمول بندی روش المان محدود در ادامه به سامانه‌ای از معادله‌های جبری تبدیل می‌شود که بیانگر تقریبی از یک تابع مجھول بر روی هر المان است [۳۱-۳۳]. در این پژوهش مدل‌سازی دینامیک سیال‌ها و شبیه‌سازی عددی با استفاده از نرمافزار کامسول که یک طرح عددی بر پایه روش المان محدود است انجام شده است [۳۴]. در این راستا، برای دیابایی فصل مشترک بین دو فاز از روش تعیین تراز^۱ پایستار که توسط اولسون و کریز ارایه شده و دارای دقت مرتبه بالا و بقای جرم خوبی است استفاده شده است. از این رویکرد برای توصیف سطح مشترک بین دو سیال امتراج ناپذیر استفاده می‌شود. مسائلی که با فصل مشترک یا مرز متحرک سروکار دارند در موارد گوناگونی رخ می‌دهند؛ مانند برهمکنش بین سیال و سازه، جریان‌های چندفازی و غشاهاي منعطف متحرک [۳۵-۳۸]. روش تعیین تراز فناوری است که برای نمایش فصل مشترک یا مرز متحرک با مش ثابت مورد استفاده قرار می‌گیرد و توسط آن می‌توان حرکت فصل مشترک در هر نوع میدان سرعتی را مشخص کرد (شکل ۲) [۳۸].

مطابق شکل ۲ در این روش یک تابع کمکی φ (تابع تعیین تراز) روی کل دامنه تعریف می‌شود. این تابع در محل فصل مشترک صفر در نظر گرفته می‌شود. برای درک این روش یک منحنی ساده‌ی بسته $(t)\Gamma$ که در آن φ در ناحیه‌ی Ω محصور شده و در دو پس حرکت می‌کند را در نظر بگیرید. در فرمول بندی تعیین تراز، تابع تعیین تراز φ فصل مشترک صفر در نظر گرفته می‌شود و مرز به صورت زیر تعریف می‌شود.

(۱) level set

(۲) Signed distance function

شرط عدم لغزش سیال رو دیواره کanal با توجه به چسبندگی سیال به دیواره و سرعت صفر روی دیواره اعمال می‌شود [۴۰].

معادله‌های مومنتوم و جرم حاکم بر مسئله

با توجه به رژیم جریان برای شبیه‌سازی باید معادله‌های بقای جرم و بقای مومنتوم با استفاده از شرایط مرزی مناسب برای جریان حل شوند [۴۱، ۳۲]:
بر اساس نظریه انتقال رینولوز برای یک حجم معیار، معادله‌ی زیر برای بقای جرم به دست می‌آید:

$$\int_{cv} \frac{\partial \rho}{\partial t} dv + \int_{cs} \rho \vec{v} \cdot \vec{n} \cdot dA = 0 \quad (19)$$

$$\int_{cv} \frac{\partial \rho}{\partial t} dv + \int_{cs} \rho \vec{v} \cdot \vec{n} \cdot dA = 0$$

در صورت داشتن ورودی و خروجی مناسب و منظم معادله بالا را به شکل زیر می‌توان نوشت:

$$\int_{cv} \frac{\partial \rho}{\partial t} dv = \sum_{in} m - \sum_{out} m \quad (20)$$

معادله بالا بیان می‌کند که نرخ خالص تغییر جرم در حجم معیار با تفاوت نرخ جریان‌های ورودی و خروجی آن برابر است.

با ساده سازی معادله (۱۹) و نوشتن موازنۀ جرم دور المان کوچکی از سیال معادله دیفرانسیل کلی برای بقای جرم به صورت زیر به دست آمده می‌شود که به معادله پیوستگی شناخته می‌شود:

$$\frac{\partial \rho}{\partial t} + \vec{\nabla} \cdot (\rho \vec{v}) = 0 \quad (21)$$

و با توجه به این که دانسیته سیال با زمان تغییر نمی‌کند معادله به شکل زیر نوشته می‌شود:

$$\vec{\nabla} \cdot (\rho \vec{v}) = 0 \quad (22)$$

معادله مومنتوم در سرتاسر دامنه حل می‌شود و میدان سرعت به دست آمده به صورت مشترک در اختیار هر دو فاز قرار می‌گیرد. با نوشتن موازنۀ مومنتوم بر اساس نظریه رینولوز، معادله ناویر استوکس کلی به صورت زیر به دست می‌آید.

$$\frac{\partial}{\partial t} (\rho \vec{U}) + \vec{\nabla} \cdot (\rho \vec{U} \vec{U}) = -\nabla P + \vec{\nabla} \cdot [\mu (\nabla \vec{U} + \nabla \vec{U}^T)] + \rho \vec{g} + \vec{F} \quad (23)$$

بدین ترتیب برای به دست آوردن توزیع دقیق فشار و سرعت باید این معادله‌ها برای هر فاز به صورت جداگانه نوشته و حل شوند. با توجه به جریان موازی در مسئله حاضر، تنها سازوکار انتقال جرم موجود در سامانه مورد مطالعه انتقال جرم به روش نفوذ مولکولی

جدول ۱ - شرایط مرزی حاکم بر مسئله

مقدار	شرط مرزی
۲۰	شدت جریان فاز آبی ($\mu\text{lit}/\text{min}$)
۷۰	شدت جریان فاز آبی ($\mu\text{lit}/\text{min}$)
۰.۰۱۴۸۱۵	سرعت فاز آبی (m/s)
۰.۰۵۱۸۲۵	سرعت فاز آبی (m/s)
عدم لغزش	شرایط هیدرودینامیکی رو دیواره
۲۹۳	دماه عملیاتی (K)
۱	فشار عملیاتی (atm)

کوچک باشد، ممکن است ضخامت فصل مشترک ثابت نماند و به دلیل بی‌ثباتی‌های عددی ممکن است نوسان‌ها در φ ظاهر شود. از طرف دیگر اگر ۰ خیلی بزرگ باشد، سطح مشترک به طور صحیح حرکت نمی‌کند. مقداری مناسب برای φ بیشترین مقدار میدان سرعت u است. اگر سرعت واگرایی آزاد باشد، یعنی اگر:

$$\nabla u = 0 \quad (16)$$

در صورت عدم ورود یا خروج از مرزهای، باید حجم محدود شده توسط سطح مشترک حفظ شود. برای به دست آوردن محاسبه‌های دقیق عددی، می‌توان از معادله زیر استفاده کرد [۳۹].

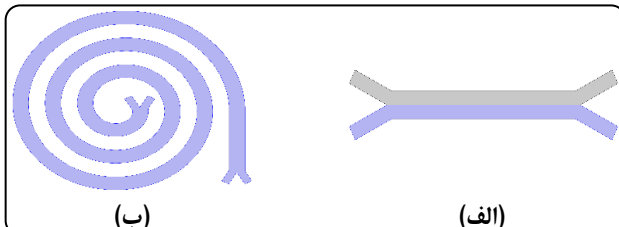
$$\frac{\partial \phi}{\partial t} + \nabla \cdot (u \phi) = \gamma \nabla \cdot \left(\epsilon \nabla \phi - \phi (1-\phi) \frac{\nabla \phi}{|\nabla \phi|} \right) \quad (17)$$

شرط مرزی در ورودی‌ها به صورت سرعت ثابت در نظر گرفته می‌شود که به شکل معادله زیر بیان می‌شود:

$$u = U_0 n \quad (18)$$

که در آن n بردار نرمال و U_0 سرعت ورودی فاز آبی یا آبی است. شرط مرزی روی کلیه دیواره‌ها به صورت دیواره مرتبط شونده، با زاویه تماس ۳۰ درجه در نظر گرفته می‌شود. با توجه به شبیه‌سازی انجام شده، سرانجام یک حالت پایا نتیجه می‌شود. شرط اولیه در مدل نیز بین ترتیب قرار گرفته که در ابتدا و در زمان صفر در نیمی از کanal فاز آبی و در نیمی دیگر فاز آبی قرار می‌گیرد که با شروع فرایند، هر دو فاز با سرعت‌های فرایندی مختص خود وارد کanal می‌شوند. برای بررسی مسائل سیال‌ها دوفازی با توجه به این که چنین فرایندهایی، غیر پایا می‌باشند، باید در حل چنین مسائلی زمان نیز وارد شود، بنابراین در شبیه‌سازی، روش حل وابسته به زمان^۱ در نظر گرفته می‌شود. شرایط مرزی حاکم بر مسئله نیز در جدول ۱ نمایش داده شده است.

(۱) Time dependent



شکل ۴ - هندسه دو بعدی مورد استفاده برای شبیه‌سازی هیدرودینامیکی و انتقال جرم (الف) میکروکانال Y-شکل (ب) میکروکانال حلوونی

ضریب‌های انتقال در دوفاز انتقال جرم

با توجه به این که دو سیال در تماس نزدیک باهم قرار دارند، از مقاومت فصل مشترک می‌توان چشم پوشی کرد. زیرا که خود فصل مشترک دارای جرم در خور انتنایی نیست. بنابراین می‌توان برسی را با فرض پیوستگی شار جرمی کل در فصل مشترک برای گونه مورد نظر انجام داد.

بنابراین با توجه به سامانه نشان داده شده می‌توان گفت:

$$N_{A0}|_{phase1} = N_{A0}|_{phase2} = N_{A0} \quad (27)$$

که با استفاده از قانون فیک داریم:

$$N_{A0} = K_{y,loc}^0 (y_{Ab} - y_{A0}) = N_{A0} = K_{x,loc}^0 (x_{Ab} - x_{A0}) \quad (28)$$

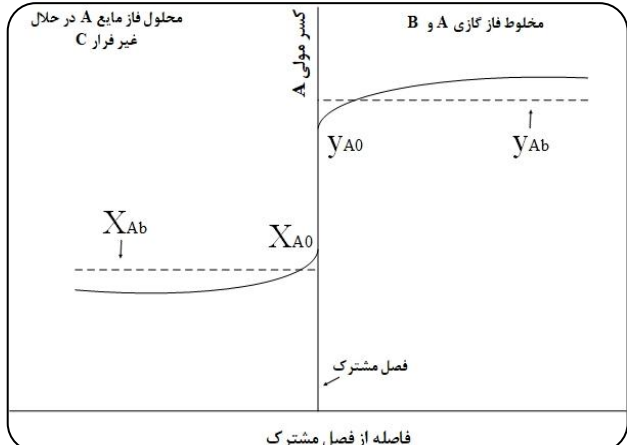
در معادله بالا x و y به فاز ۱ و ۲ اشاره دارد. آهنگ انتقال میان فازی، که برای محاسبه غلظت فصل مشترک استفاده می‌شود به صورت زیر بیان می‌شود.

$$N_{A0} = K_{y,loc}^0 (y_{Ab} - y_{Ae}) = K_{x,loc}^0 (x_{Ae} - x_{Ab}) \quad (29)$$

که در معادله بالا y_{Ae} ترکیب فاز ۱ در تعادل با فاز ۲ با ترکیب x_{Ab} و x_{Ae} ترکیب فاز ۲ در تعادل با فاز ۱ با ترکیب شیمیایی y_{Ab} می‌باشد. کمیت $K_{y,loc}^0$ و $K_{x,loc}^0$ ضریب‌های کلی انتقال جرم مبتنی بر هر فاز مختص خود است.

هندسه مدل

در این پژوهش از میکروکانال حلوونی و میکروکانال Y-شکل استفاده شده است. به منظور قابل مقایسه بودن، با نتیجه‌های گزارش شده در پژوهش عبداللهی و همکاران [۱۸]، عرض کانال‌ها $500 \mu\text{m}$ و طول 60 mm است. گام حلقه میکروکانال حلوونی نیز 1 mm در نظر گرفته شده است. شاعع احنا اولین حلقه $5825 \text{ mm} / 50$ انتخاب شده است. طول کانال‌های ورودی و خروجی 10 mm و عرض



شکل ۳ - توزیع‌های غلظت در همسایگی فصل مشترک در سامانه دو فازی [۴۱]

می‌باشد. انتقال جرم مسئله حاضر شامل فصل مشترک سیال-سیال می‌باشد که این فصل مشترک به صورت متحرک و ناپایا که بر اثر پسای ویسکوز و گرادیان کشش سطحی به علت ناهمگنی در ترکیب شیمیایی به وجود می‌آید، در نظر گرفته می‌شود. سامانه‌ای که مورد مطالعه قرار می‌گیرد، یک سامانه دو فازی می‌باشد. آهنگ انتقال جرم در مرزهای فاز با اختلاف غلظت معادله دارد. در مرز بین دوفاز (فصل مشترک) انتقال جرمی که صورت می‌گیرد، را می‌توان با معادله (۱۹) به صورت زیر توصیف کرد [۱۸، ۳۷، ۴۱، ۴۲].

$$N_{A0} - x_{A0}(N_{A0} + N_{B0}) = -(c D_{AB} \frac{\partial x_A}{\partial y})|_{y=0} \quad (24)$$

این معادله در فصل مشترک انتقال جرم ($y=0$) نوشته شده است.

این معادله شار مولی میان فازی گونه A را توصیف می‌کند.

برای سامانه‌هایی با فصل مشترک سیال-سیال و بودن گرادیان سرعت در فصل مشترک، شار جرمی در سطح از معادله زیر قابل محاسبه هست:

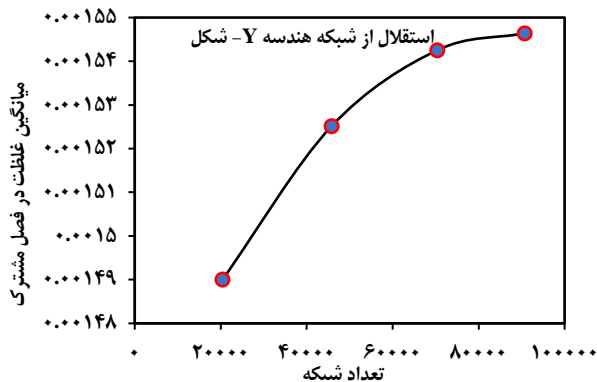
$$N_{A0} = \sqrt{\frac{D_{AB}}{\pi} \frac{h_z^2 v_s^2}{\int_0^x h_x h_z^2 v_s d\bar{x}}} (C_{A0} - 0) \equiv k_{c,loc}^0 \Delta C_A \quad (25)$$

و هچنین عدد شروود^۱، (که نفوذ پذیری انتقال جرم را بیان می‌کند)، به صورت زیر بیان می‌شود.

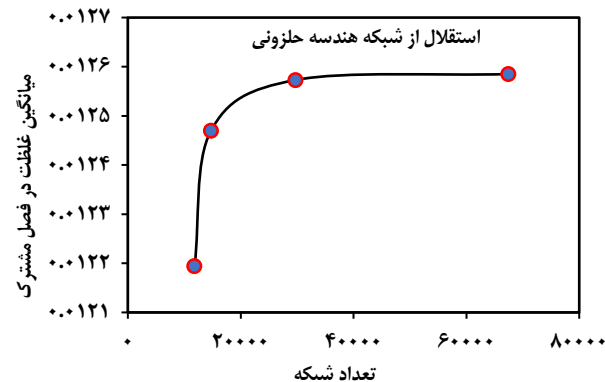
$$Sh_{loc} = \frac{k_{c,loc}^0 l_0}{D_{AB}} = \frac{1}{\sqrt{\pi}} (Re S c)^{1/2} \sqrt{\frac{h_z^2 v_s^2}{\int_0^x h_x h_z^2 v_s d\bar{x}} v_0} \quad (26)$$

در این معادله l_0 و v_0 طول مشخصه و سرعت مشخصه‌ای هستند که می‌توان پس از تعریف شکل جسم انتخاب کرد.

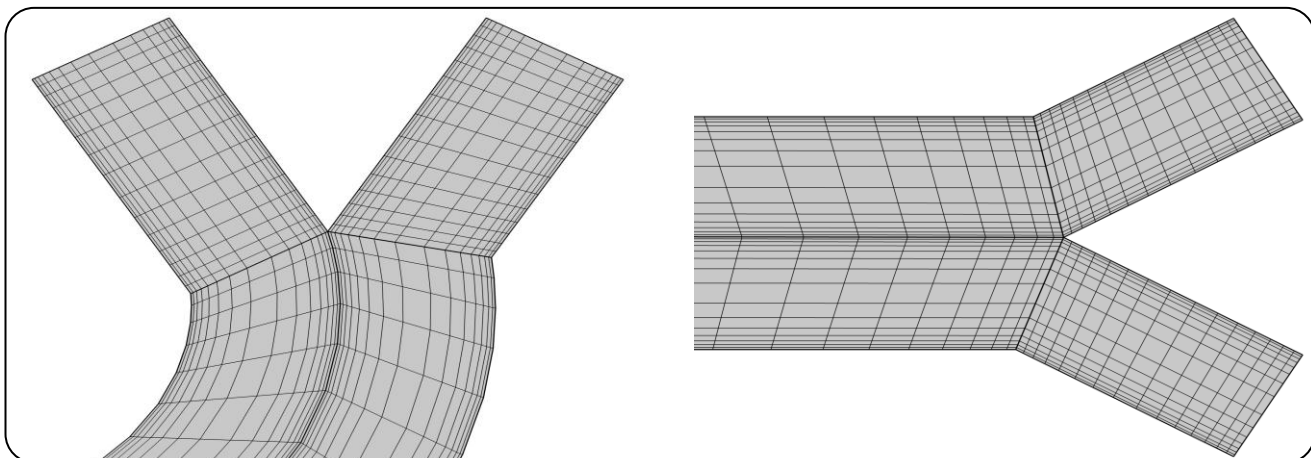
^(۱) Sherwood



شکل ۶- بررسی دقت حل در تعداد شبکه‌های گوناگون و به دست آوردن تعداد شبکه بینه در هندسه Y-شکل



شکل ۵- بررسی دقت حل در تعداد شبکه‌های گوناگون و به دست آوردن تعداد شبکه بینه در هندسه حلزونی



شکل ۷- شبکه‌بندی هندسه‌های (الف) میکروکانال Y-شکل (سمت راست)، (ب) میکروکانال حلزونی (سمت چپ)

ناحیه‌ها به عنوان لایه مرزی شناخته می‌شوند. در تأثیر پذیری پاسخ از تعداد شبکه، ران‌هایی با تعداد شبکه‌های گوناگون گرفته شد، که با توجه به شکل ۵ و ۶ مشاهده می‌شود که از تعداد شبکه ۷۰۳۲۰ و ۲۹۷۵۱ به ترتیب در هندسه‌های حلزونی و Y-شکل بالاتر پاسخ تغییر محسوسی نمی‌کند و ریز کردن بیشتر از این تعداد از لحاظ زمان و هزینه به صرفه نمی‌باشد. بنابراین این تعداد شبکه ایجاد شده برای هندسه میکروکانال حلزونی و Y-شکل ذکر شده به عنوان تعداد شبکه بینه به دست آمد.

ویژگی‌های سیال‌های استفاده شده
در شبیه‌سازی عددی میکروکانال از دو سیال آب و بوتیل استات که قطبیت ضعیفی دارد و در مقایسه با حلال‌های دیگر درجه سمیت کمتری دارد [۲۴] استفاده شده است. مشخصه‌های سیال‌های به کار برده شده و همچنین شرایط عملیاتی استخراج در جدول ۲ آورده شده است:

۰/۲۵ mm در نظر گرفته شده است. دو سیال امتزاج ناپذیر به درون میکروکانال تزریق می‌شوند. محاسبه‌ها به دلیل تقارن در بعد سوم، کاهش هزینه و زمان انجام در دو بعد انجام شد.

شبکه‌بندی و بررسی حل استقلال از شبکه
بررسی استقلال از شبکه در مسائل محاسبه‌های عددی، یکی از بخش‌های مهم برای دقت حل، کاهش زمان و هزینه می‌باشد. بنابراین شبکه بینه می‌بایست برای شبیه‌سازی در نظر گرفته شود. شبکه‌ها در واقع جزء‌هایی هستند که در روش تفاضل‌های محدود برای حل دقیق‌تر مسئله در نظر گرفته می‌شود. در فضای دو بعدی از شبکه‌های مثلثی و مربعی استفاده می‌شود. شیوه انتخاب شبکه‌بندی در این پژوهش به صورتی بوده که در مناطقی که مقدار پارامترهای مورد سنجش مانند سرعت و غلظت حساس‌تر هستند و نیاز به دقت بالاتری دارند، از شبکه‌بندی ریزتر استفاده شود. این

جدول ۳ - سطوح کد گذاری شده و بازه آزمایشی متغیرها

سطح			نماد	متغیرهای تأثیرگذار
-1	0	1		
۲۰	۳۵	۵۰	X1	(µlit/min)
۲۸	۴۹	۷۰	X2	(µlit/min)
۰/۰۰۱	۰/۰۵۰۵	۰/۱	X3	(mol/lit)
۲	۳	۴	X4	تعداد حلقه میکروکاتال

۳۰ ران شبیه‌سازی پیشنهاد شد. با استفاده از روش سطح پاسخ و آنالیز داده‌ها یک معادله برازش خطی مرتبه دوم با توجه به جدول ۴ برای پاسخ سامانه بر حسب متغیرهای ورودی با در نظر گرفتن دقت مدل منطبق شد. ثابت و ضریب‌های برازش مدل آماری چند جمله‌ای درجه دوم کامل که در آن اثر خطی هر متغیر، مربع آن‌ها و اثرهای متقابل آن‌ها در نظر گرفته شده طبق معادله (۳۰) آورده شده است. چرا که مدل درجه دوم دارای بالاترین F-value، پایین‌ترین P-value و بیش‌ترین مقدار R^2 می‌باشد.

به منظور تبیین ارتباط بین متغیرهای عملیاتی و راندمان استخراج ثابت‌ها و ضریب‌های برازش به روش نرم‌افزار Design Expert به دست آمده شده در جدول ۵ نشان داده شده است.

آنالیز واریانس میزان تأثیر پارامترهای معادله برازش را مشخص می‌نماید و در تحلیل و مدل‌سازی آزمایش‌ها نقش به سزایی دارد. جدول آنالیز واریانس در طراحی آزمایش‌ها میزان اثر فاکتورهای ورودی و برهمکنش‌های آن‌ها را بر روی پاسخ خروجی مشخص می‌نماید [۴۶]. با توجه به قابلیت اطمینان ۹۵ درصد در آزمایش‌های مهندسی، P-value کمتر از $۰/۰۵$ به منزله معنی‌دار بودن عامل‌های مدل در نظر گرفته می‌شود [۴۶، ۴۵]. مقدار خطای مجموع مربع‌های^۱ مدل منطبق شده بر داده‌ها، میزان دقت نوع معادله برازش حاکم بر مدل را مشخص نموده که در مبحث طراحی آزمایش‌ها از اهمیت به سزایی برخوردار است. هر چه این مقدار در مدل‌های قابل انطباق بر داده‌ها کمتر باشد، مدل مربوطه دارای خطای پیش‌بینی کمتری است. در این پژوهش کمترین عدد این مولفه مربوط به مدل برازش مرتبه دوم کامل^۲ به دست آمد.

دقت مدل

برای ارزیابی دقیق برازش مدل، نمودار توزیع نرمال باقی‌مانده رسم می‌شود. باقی‌مانده‌های انحراف بین مقدارهای پیش‌بینی شده و واقعی می‌باشند، و اگر خطاهای آزمایشی تصادفی باشند

جدول ۲ - مشخصه‌های سیال‌های به کار برده شده

مشخصه‌های هندسی	طول (cm)	عرض (µm)	مشخصه‌های سیال‌های استفاده شده
	۵۰۰	چگالی ($\text{kg} \cdot \text{m}^{-3}$)	
آب	۲/۹۹۸	گرانزوی cP	
	۱	چگالی ($\text{kg} \cdot \text{m}^{-3}$)	بوتیل استات
	۵/۸۸۲	گرانزوی cP	
	۶۸۵/۰		
	۰/۱۴۰	کشش سطحی بین آب و بوتیل استات N/m	

شبیه‌سازی در دمای عملیاتی $۲۹/۳$ کلوین و فشار عملیاتی ۱ اتمسفر انجام شد.

طراحی آزمایش و بهینه‌سازی

در این پژوهش، طرح آزمایش مرکب مرکزی برای پیدا کردن شرایط بهینه استخراج یون کلسیم با استفاده از فناوری میکروفلوئیدیک به کار گرفته شد، چرا که طرح مرکب مرکزی بهترین روش برای بهینه‌سازی آزمایش‌هایی که متغیر مستقل کمی دارند و متغیر وابسته نیز در یک کمیت اندازه‌گیری می‌شود است [۴۳]. اثر پارامترهای شدت جریان حجمی فاز آبی، شدت جریان حجمی فاز آبی، غلظت کلسیم کلرید ورودی و تعداد حلقه بر روی بازدهی استخراج کلسیم کلرید مورد بررسی قرار گرفت. جدول ۳ بازه آزمایشی و سطوح متغیرهای مستقل مورد استفاده را در این پژوهش نشان می‌دهد. متغیر پاسخ (راندمان استخراج) به وسیله مدل درجه دوم کامل برای ارتباط دادن به متغیرهای عملیاتی برازش یافت.

$$Y = \beta_0 + \sum_{i=1}^K \beta_i X_i + \sum_{i=1}^k \beta_{ii} X_i^2 + \sum_{i=1}^{k-1} \sum_{i < j}^k \beta_{ij} X_i X_j + \varepsilon \quad (30)$$

در معادله بالا Y راندمان استخراج تولیدی بیش بینی شده و β_i , β_{ij} , β_{ii} ضریب‌های برازش محاسبه شده به دست آمده از تحلیل برازش، X_i و X_j متغیرهای مستقل یا فاکتورهای کد گذاری شده و خطای تصادفی می‌باشد [۴۵، ۴۴].

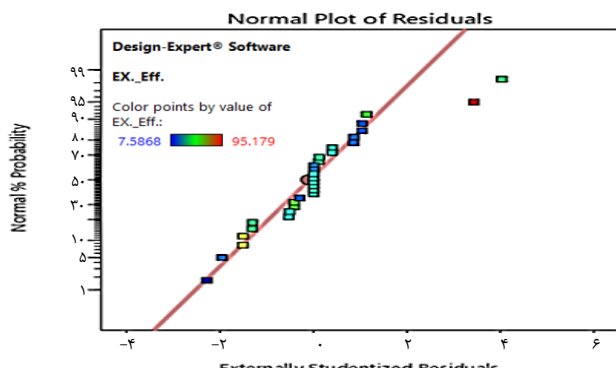
نتیجه‌ها و بحث

تحلیل آماری شبیه‌سازی‌های انجام شده طبق طراحی آزمایش

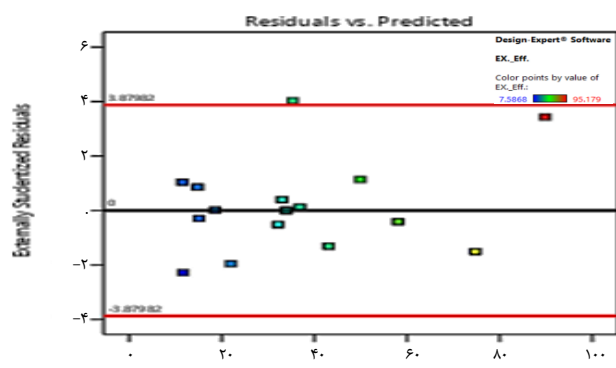
برای بهینه‌سازی پارامترهای قابل تنظیم در شبیه‌سازی، ۴ پارامتر با استفاده از نرم‌افزار طراحی آزمایش موردي بررسی قرار گرفت، که با استفاده از روش روبه پاسخ به منظور بهینه کردن پارامترها تعداد

جدول ۴ - ارزیابی مدل‌های پیشنهادی با استفاده از نرم‌افزار Design Expert

R^2_{adj}	P-value	F-value	میانگین مربع‌ها	درجه آزادی	جمع مربع‌ها	مدل
۰/۸۲۰۴	۰/۰۰۰۱<	۳۴/۱۱	۲۳۹۱/۹۳	۴	۹۵۶۷/۷۲	(Linear) خطی
۰/۸۲۲۰	۰/۰۳۱۳	۱/۰۴	۷۲/۲۰	۶	۴۳۳/۱۵	(Linear+2FI) خطی + برهمکنش‌های دوتابعی
۰/۹۷۴۵	۰/۰۰۰۱<	۲۹/۳۹	۲۹۲/۶۸	۴	۱۱۷۰/۷۰	(Quadratic+2FI) درجه دو
۰/۹۹۶۹	۰/۰۰۱۰	۱۴/۶۴	۱۷/۶۲	۸	۱۴۰/۹۵	(cubic) درجه سه



شکل ۸ - نمودار توزیع نرمال برای خطاهای به دست آمده از شبیه‌سازی



شکل ۹ - تغییرهای باقی‌مانده بر حسب مدل پاسخ در هر آزمایش

در شکل ۹ باقی‌ماندها بر حسب مقدارهای برازش یافته راندمان استخراج از مدل رسم شده‌اند. باقی‌ماندها باید به طور تصادفی در اطراف صفر پراکنده شده باشند. پراکنده بودن مقدارهای نشان‌دهنده آن است که انحراف در مشاهده‌های اصلی به مقدار پاسخ ارتباطی نداشته و مدل پیشنهادی توصیف مناسبی از فرایند است.

بررسی تأثیر عامل‌ها مؤثر بر استخراج یون کلسیم

بررسی اثر شدت جریان فاز آبی و فاز آلی

شکل ۱۰ اثر خطی تغییرهای فاکتورهای شدت جریان فاز آبی و آلی روی پاسخ را در حالی است که سایر فاکتورها در نقاط مرکزی ثابت هستند، نشان می‌دهد. با پایین آمدن شدت جریان فاز آبی و بالا رفتن شدت جریان فاز آلی تا حدی باعث بهبود استخراج می‌شود.

جدول ۵ - ثابت‌ها و ضرایب‌های برازش بین متغیرها و پاسخ

ضرایب‌ها	فاکتور
۳۳/۹۶	ثابت
-۱۶/۹۷	A_Q(eq)
۵/۹۱	B_Q(org)
-۰/۰۰۰۵	C_C0_Ca
۸/۷۱	D_N-R
۰/۱۸۴۳	AB
۰/۰۰۶۷	AC
-۴/۵۱	AD
۰/۰۰۰۶	BC
۲/۶۰	BD
۰/۰۰۵۷	CD
۵/۴۹	A ²
-۲/۶۱	B ²
-۰/۲۲۵۵	C ²
-۰/۳۶۱۹	D ²

انتظار می‌رود که از توزیع نرمالی پیروی کنند. مقدارهای پیش‌بینی شده باقی‌مانده به وسیله تابع توزیع نرمال در شکل ۸ رسم شده است. خط مستقیم نمودار نشان می‌دهد که باقی‌مانده‌ها از توزیع نرمال پیروی می‌کنند.

با توجه به جدول ۵ و مقدارهای P-value، معادله برازش خطی مرتبه دوم حاکم بر نیروی فرایند به صورت معادله ۳۰ است.

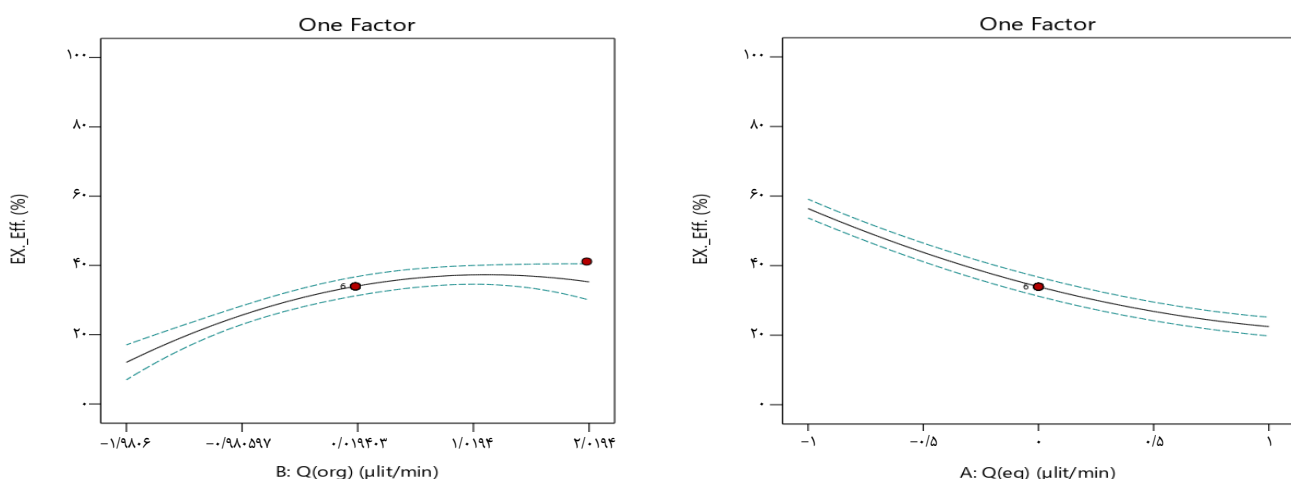
$$EX.Eff. = 33.96 - 16.96787 * Q(eq) + 5.91156 * Q(org) + 8.70629 * N_R - 4.50531 * Q(eq) * N_R + 2.59656 * Q(org) * N_R + 5.48739 * Q(eq)^2 - 2.61064 * Q(org)^2 \quad (30)$$

ترم‌های Q(eq), Q(org), N_R و C0_Ca، Q(org)، N_R و به ترتیب اثرهای خطی پارامترهای شدت جریان فاز آبی ورودی، شدت جریان فاز آلی ورودی، غلظت کلسیم کلرید ورودی در فاز آبی و تعداد حلقه هستند، $Q(eq)^2$ ، $Q(org)^2$ و N_R^2 اثرهای درجه دوم پارامترهای یاد شده و به دست آمده ضرب پارامترها در هم اثرهای متقابل فاکتورهای مورد نظر می‌باشند.

جدول ۶ - تحلیل واریانس (ANOVA) مدل بازش شده برای استخراج یون کلسیم

	P-value	F-value	MS میانگین مربع‌ها	جمع مربع‌ها SS	درجه آزادی DF	ترم‌ها
تفاوت معنادار ^۱	.۰۰۰۱<	۸۰/۱۳	۷۹۷/۹۷	۱۱۱۷۱/۶۰	۱۴	مدل
	.۰۰۰۱	۶۹۳/۸۵	۶۹۰۹/۸۱	۶۹۰۹/۸۱	۱	A_Q(eq)
	.۰۰۰۱<	۸۴/۲۲	۸۳۸/۷۲	۸۳۸/۷۲	۱	B_Q(org)
	.۰۹۹۹۴	۷e-۵/۰۶۳	۶e-۵/۰۴۲	۶e-۵/۰۴۲	۱	C_C0_Ca
	.۰۰۰۱<	۱۸۲/۶۸	۱۸۱۹/۱۹	۱۸۱۹/۱۹	۱	D_N-R
	.۰۱۸۴	.۰۰۵۴۶	.۰۵۴۳۵	.۰۵۴۳۵	۱	A*B
	.۰۹۹۳۳	.۰۰۰۱	.۰۰۰۷	.۰۰۰۷	۱	A*C
	.۰۰۰۱<	۳۲/۶۱	۳۲۴/۷۷	۳۲۴/۷۷	۱	A*D
	.۰۹۹۹۴	۷e-۵/۰۸۴	۶e-۵/۰۶۳	۶e-۵/۰۶۳	۱	B*C
	.۰۰۴۹	۱۰/۸۳	۱۰۷/۸۷	۱۰۷/۸۷	۱	B*D
	.۰۹۹۴۳	.۰۰۰۱	.۰۰۰۵	.۰۰۰۵	۱	C*D
	.۰۰۰۱<	۸۲/۹۳	۸۲۵/۹۱	۸۲۵/۹۱	۱	A ²
	.۰۰۰۶	۱۸/۷۷	۱۸۶/۹۴	۱۸۶/۹۴	۱	B ²
	.۰۷۱۳۵	.۰۱۴۰۰	۱/۳۹	۱/۳۹	۱	C ²
	.۰۵۵۷۱	.۰۳۶۰۷	۳/۵۹	۳/۵۹	۱	D ²
بدون تفاوت معنادار			۹/۹۶	۱۴۹/۳۸	۱۵	باقی‌مانده ^۲
			۱۴/۹۴	۱۴۹/۳۸	۱۰	عدم تطابق ^۳
			.۰۰۰۰۰	.۰۰۰۰۰	۵	خطای سامانه ^۴
			۱۱۳۲۰/۹۸	۱۱۳۲۰/۹۸	۲۹	همبستگی کل ^۵

$R^2 = 0.9868$; Adjusted $R^2 = 0.9745$; Predicted $R^2 = 0.9240$; Adeq Precision = 35/0.735



شکل ۱۰ - اثر شدت جریان فاز آبی و آلی بر روی میزان استخراج سامانه میکروفلوئیدیک

همان‌گونه که در نمودار سه بعدی مشخص می‌باشد در نسبت شدت جریان‌های پایین فاز آبی به فاز آلی بازدهی استخراج بالاتری را شاهد هستیم.

که بررسی فاکتورها به صورت جداگانه به‌طور کامل با کانتور سه بعدی و بررسی اثرهای متقابل فاکتورها بر روی پاسخ مطابقت دارد.

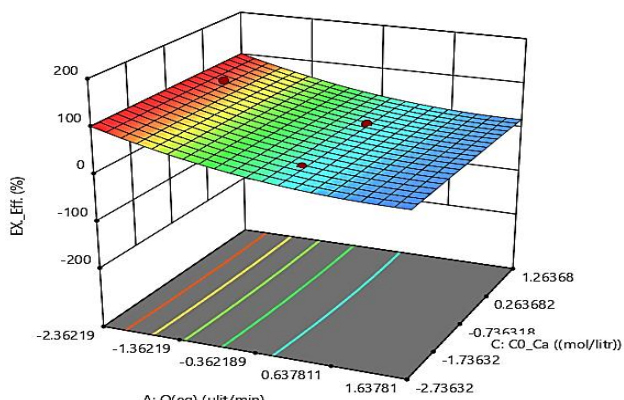
(۱) Significant

(۲) Residual

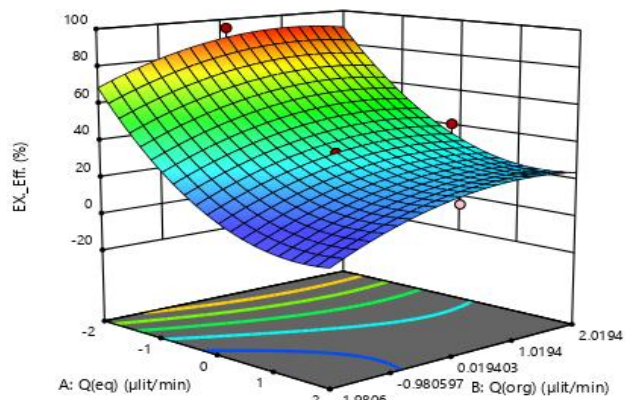
(۳) Lack of fit

(۴) Pure error

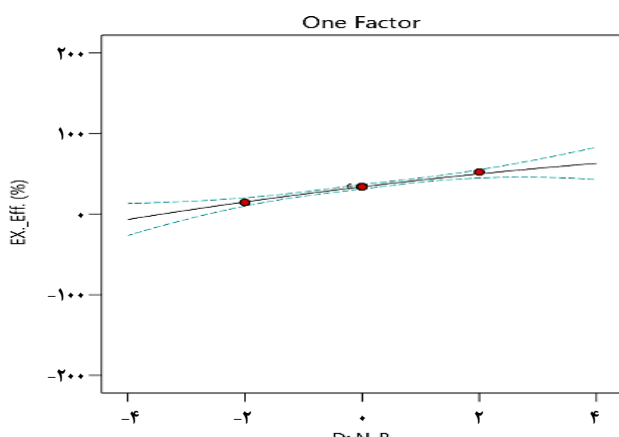
(۵) Correlation Total



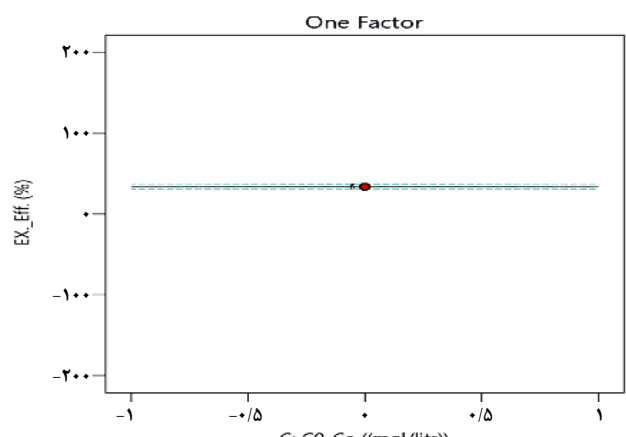
شکل ۱۳ - نمودار سه بعدی اثر غلظت کلسیم کلرید و شدت جریان فاز آبی



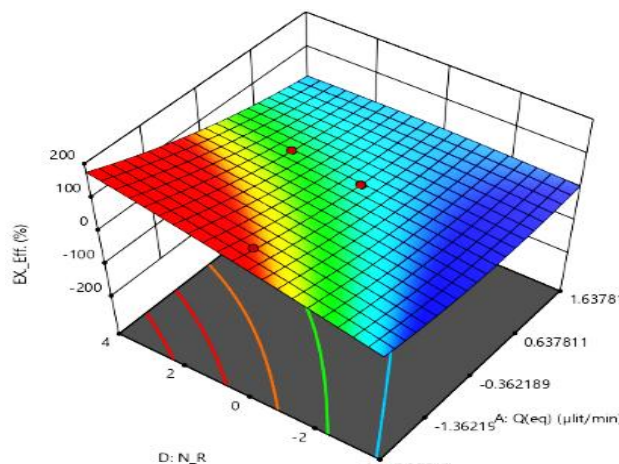
شکل ۱۱ - نمودار سه بعدی اثر متقابل شدت جریان فاز آبی - فاز آلی



شکل ۱۴ - اثر تعداد حلقه اسپiral روی میزان استخراج سامانه میکروفلوئیدیک



شکل ۱۲ - اثر غلظت کلسیم کلرید روی راندمان استخراج



شکل ۱۵ - کانتور سه بعدی بررسی هم زمان شدت جریان فاز آبی و تعداد حلقه میکروکانال

مطابق با بررسی شدت جریان فاز آبی در شدت جریان پایین فاز آبی و تعداد دور حلقه بالا بازدهی استخراج بالا می باشد.

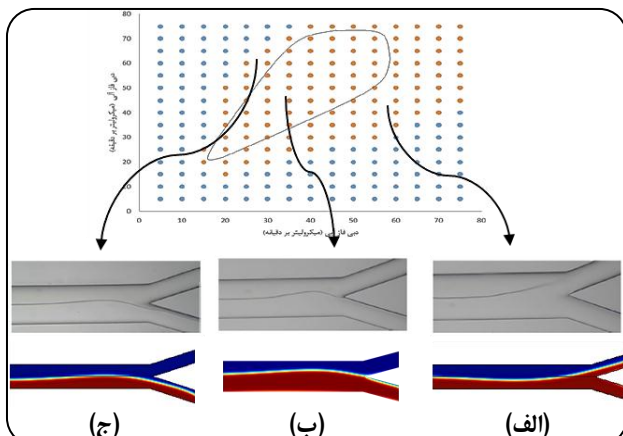
بررسی اثر غلظت کلسیم کلرید

شکل ۱۲ اثر غلظت کلسیم کلرید روی راندمان استخراج کلسیم در حالی که سایر پارامترها در نقاط مرکزی ثابت شده اند را نشان می دهد. همان گونه که مشاهده می شود با افزایش غلظت راندمان استخراج بهبود نیافته، که می توان علت را به تغییرهای نسبت توزیع کلسیم بین دو فاز آبی و آلی نسبت داد.

در بازه مورد بررسی غلظت کلسیم کلرید و در شدت جریان پایین فاز آبی، غلظت کلسیم کلرید بر روی بازده استخراجی مؤثر نمی باشد.

بررسی اثر تعداد حلقه میکروکانال اسپiral

تعداد حلقه میکروکانال که از تعداد دور حلقه ۲ الی ۴ را مورد بررسی قرار داد شد، همان گونه که از بررسی تأثیر تک عاملی تعداد حلقه از شکل ۱۴ به دست آمده می شود مشاهده می شود که با افزایش تعداد حلقه، شاهد افزایش راندمان در بازده استخراجی هستیم، که این به دلیل کاهش شعاع انحناء و افزایش نیروهای مؤثر بر جداسازی و انتقال ذره ها از فاز آبی به فاز آبی هستیم.

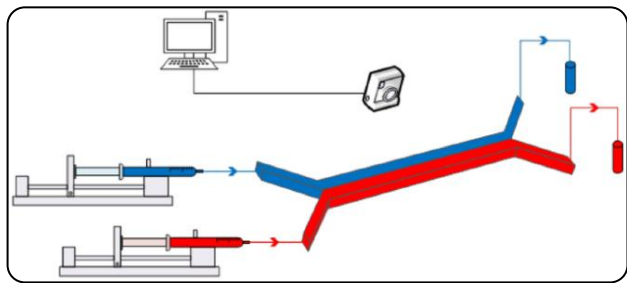


شکل ۱۷ - شبیه‌سازی عددی و اعتبار سنجی آن با کار آزمایشگاهی در نسبت شدت جریان‌های گوناگون، کسر حجمی فازها در قسمت خروجی و جدایش فازها [۱۸]

باشد فصل مشترک دو فاز تقریباً در مرکز کanal قرار دارد و امکان جدایش بیشتر می‌شود. نتیجه‌های به دست آمده از مقایسه پژوهش یاد شده با نتیجه‌های به دست آمده از شبیه‌سازی در شکل ۱۷ آورده شده است که با توجه به تطابق قابل قبول نتیجه‌های به دست آمده از شبیه‌سازی، امکان آنالیز جریان با استفاده از شبیه‌سازی نتیجه می‌شود.

همان‌گونه که از شکل ۱۷ استباط می‌شود، نتیجه‌های آزمایشگاهی به دست آمده از کار عبداللهی و همکاران [۱۸] با تصویرهای به دست آمده از شبیه‌سازی با تقریب بسیار خوبی یکسان می‌باشد، در تصویرهای آزمایشگاهی سیال قسمت پایینی میکروکanal فاز آبی و قسمت بالایی را فاز آلی تشکیل می‌دهد، همچنین در کار شبیه‌سازی شده، بخش قرمز رنگ مربوط به فاز آبی و قسمت آبی رنگ مربوط به فاز آلی می‌باشد، از مقایسه تصویرهای تجربی شبیه‌سازی نتیجه می‌شود که مدل به کار رفته تا حد زیادی به واقعیت نزدیک است چرا که محل فصل مشترک در شدت جریان‌های گوناگون در کار آزمایشگاهی و شبیه‌سازی شباخت زیادی به یکدیگر دارند. مشخصه‌های جریان‌های به کار رفته در این پژوهش و کار عبداللهی و همکاران نیز در جدول شماره ۳ آمده است. در بحث شبیه‌سازی انتقال جرم مشخصه‌های جریانی و انتقال جرم کار آزمایشگاهی عبداللهی و همکاران [۱۸] نیز در جدول ۴ آورده شده است.

کانتور سرعت، کسر حجمی و غلظت مربوط به شبیه‌سازی کanal Y-Y در شکل ۱۸ نمایش داده شده است. الگوهای جریان در میکروکanal‌ها پارامتر تعیین کننده در میزان انتقال جرم می‌باشد.



شکل ۱۶ - شمایی از میکروکanal استفاده شده توسط عبداللهی و همکاران [۱۸]

با بررسی عامل‌های مؤثر بر بازدهی و بهینه‌سازی آن‌ها، بیشترین درصد بازده استخراج در شدت جریان فاز آبی $20 \mu\text{lit}/\text{min}$ ، شدت جریان فاز آبی $70 \mu\text{lit}/\text{min}$ ، غلظت کلسیم کلرید $M_{0.05}$ و تعداد ۴ حلقه اتفاق می‌افتد و مقدار پیش‌بینی شده برای راندمان استخراج $74/98\%$ درصد برآورد شد.

نتیجه‌های اعتبار سنجی و شبیه‌سازی میکروکanal حلزونی

هنگامی که دو سیال غیرقابل امتزاج وارد میکروکanal می‌شوند، بسته به کشش سطحی بین سیال و دیواره، کشش سطحی بین دو سیال، نیروهای ویسکوز و هندسه میکروکanal، الگوهای گوناگون جریان را می‌توان مشاهده کرد. جریان قطره‌ای و جریان موازی دو الگوی جریان غالب هستند که در سامانه‌های میکروفلئیدیکی رخ می‌دهند [۴۷]. در جریان قطره‌ای، کشش سطحی بین یک فاز و دیوار بیشتر از کشش سطحی بین دو سیال می‌باشد و این امر منجر به ایجاد فاز پراکنده و فاز پیوسته می‌شود و هنگامی که نیروهای ویسکوز به نیروی کشش سطحی غالب باشد جریان موازی ایجاد می‌شود. جریان قطره‌ای و موازی به طور معمول به ترتیب در نرخ جریان‌های پایین و بالا ایجاد می‌شود [۱۶].

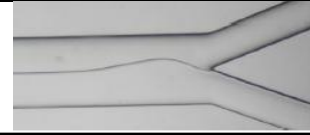
شرايط عملیاتی در شبیه‌سازی مطابق با شرایط کار آزمایشگاهی عبداللهی و همکاران [۱۸] اعمال شد. در این پژوهش جداسازی یون کلسیم از محلول آبی توسط محلول آبی در میکروکanal Y-Y شکل و حلزونی شبیه‌سازی شد. میکروکanal با طول ۶ سانتی‌متر و عرض ۵۰۰ میکرومتر و عمق ۹۰ میکرومتر مطابق شکل ۱۶ در نظر گرفته شد. نتیجه‌های مربوط به هیدرودینامیک جریان در شکل ۱۷ مشاهده می‌شود.

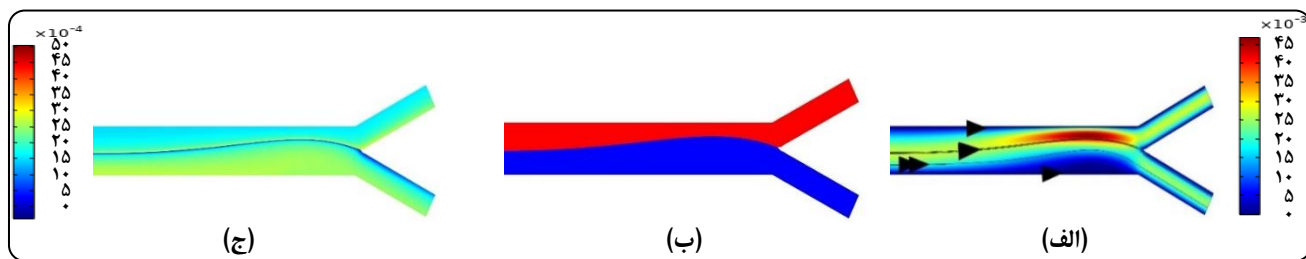
در این پژوهش، فصل مشترک دو فاز در شدت جریان‌های گوناگون، در جریان لایه‌ای بررسی شد. طبق نتیجه‌های عبداللهی و همکاران [۱۸] اگر نسبت شدت جریان فاز آبی به فاز آبی $0/75$

جدول ۳ - مشخصه‌های جریان‌های به کار رفته در شبیه‌سازی با روش تعیین تراز

شکل	سرعت فاز آبی (m/s)	سرعت فاز آبی (μlit/min)	شدت جریان فاز آبی (m/s)	شدت جریان فاز آبی (μlit/min)	(μlit/min)
کار شبیه‌سازی حاضر	۰/۰۲۶	۰/۰۳	۳۵/۱	۴۰/۵	۴۰/۵
	۰/۰۲۹۶۳	۰/۰۵۸۵۶	۴۰/۰۰۰۵	۷۹/۰۵۶	۷۹/۰۵۶
	۰/۰۲۹۶۳	۰/۰۶	۴۰/۰۰۰۵	۸۱	۸۱
	۰/۰۲۶	۰/۰۳	>۲۰	[۱۰-۷۰]	[۱۰-۷۰]
کار عبداللهی و همکاران	۰/۰۲۹۶۳	۰/۰۵۸۵۶	[۲۰-۷۰]	[۲۰-۷۰]	[۲۰-۷۰]
	۰/۰۲۹۶۳	۰/۰۶	[۱۰-۷۰]	>۲۰	>۲۰

جدول ۴ - شرایط عملیاتی و نتیجه‌ها - آزمایشگاهی عبداللهی و همکاران [۱۸] و کار شبیه‌سازی حاضر

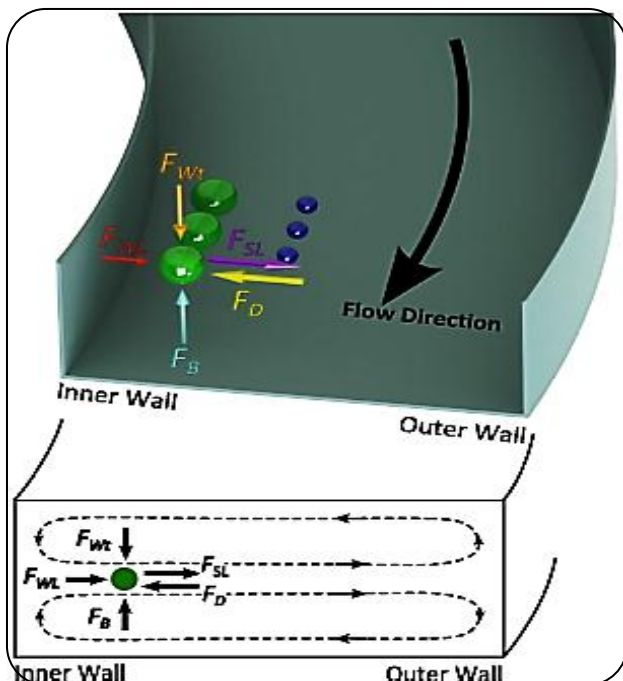
این پژوهش میکروکانال Y-Y شکل		عبداللهی و همکاران [۱۸]	
فاز آبی	فاز آبی	فاز آبی	فاز آبی
غلظت کلسیم کلرید فاز ورودی ۰/۰۰۵ مولار	غلظت کلسیم کلرید فاز ورودی ۰/۰۰۵ مولار	غلظت کلسیم کلرید فاز ورودی ۰/۰۰۵ مولار	غلظت کلسیم کلرید فاز ورودی ۰/۰۰۵ مولار
شدت جریان فاز آبی ۲۰ میکرولیتر بر دقیقه سرعت ۰/۰۲۱ متر بر ثانیه	شدت جریان فاز آبی ۲۸ میکرولیتر بر دقیقه سرعت ۰/۰۲۱ متر بر ثانیه	شدت جریان فاز آبی ۲۰ میکرولیتر بر دقیقه سرعت ۰/۰۲۱ متر بر ثانیه	شدت جریان فاز آبی ۲۸ میکرولیتر بر دقیقه سرعت ۰/۰۲۱ متر بر ثانیه
غلظت کلسیم کلرید فاز آبی خروجی ۰/۰۰۱۹۱۷۹ مولار	غلظت کلسیم کلرید فاز آبی خروجی ۰/۰۰۱۹۹۶۹ مولار	غلظت کلسیم کلرید فاز آبی خروجی ۰/۰۰۱۸۸۶ مولار	غلظت کلسیم کلرید فاز آبی خروجی ۰/۰۰۱۸۸۶ مولار
% بازدهی استخراجی میکروفلوریدیک ۶۲/۲۸	% بازدهی استخراجی میکروفلوریدیک ۶۲/۲۸	اندازه‌های کانال مورد استفاده: عرض ۵۰۰ میکرومتر، عمق ۹۰ میکرومتر، طول ۶ سانتی‌متر	
اندازه‌های کانال مورد استفاده: عرض ۵۰۰ میکرومتر، عمق ۹۰ میکرومتر، طول ۶ سانتی‌متر		اگوی جریان	
			



شکل ۱۸ - کانتور (الف) سرعت، (ب) کسر حجمی، (ج) غلظت یون کلسیم در شبیه‌سازی هیدرودینامیک و انتقال جرم عبداللهی و همکاران [۱۸]

با توجه به این که جریان به حالت پایا رسیده است و با باریک‌تر شدن قسمت انتهایی مربوط به فاز آبی در کانال اصلی مشاهده شد که سرعت در قسمت انتهایی افزایش سپس در کانال خروجی مربوط به فاز آبی کاهش می‌یابد. در کانتور کسر حجمی فازها مشاهده می‌شود که فازها دقیقاً همانند با کار آزمایشگاهی با توجه به نسبت شدت جریان که دارند، از کانال خروجی مربوط به خود خارج می‌شوند و این بهترین حالت جداسازی می‌باشد. غلظت در فاز آبی با ۰/۰۰۵ مولار

هنگام استفاده از جریان‌های موازی برای تماس دو فاز، تعیین شرایطی که جداسازی فازهای غیرقابل امتصاص در میکروکانال انجام می‌شود، ضروری می‌باشد. همان‌گونه که اشاره شد جریان موازی در شدت جریان‌های بالا و در درون میکروکانال‌های بدون ساختار درونی به طور معمول تشکیل می‌شود. با توجه به ویژگی‌های جریان اشاره شده در جدول ۴ جریان شبیه‌سازی شده موازی بوده و جداسازی جریان‌ها در خروجی در شکل ۱۸ نشان داده شده است.



شکل ۱۹ - نیروهای اعمال شده به ذره درون کانال منحنی [۲۹]

داده شده است. با توجه به یکسان بودن طول مسیر انتقال جرم میکروکانال حلوانی و میکروکانال Y-Y شکل، نتیجه‌ها نشان داد که بازدهی انتقال جرم در میکروکانال حلوانی $19/89\%$ نسبت به میکروکانال Y-Y شکل بیشتر می‌باشد که می‌توان علت را در وجود نیروی دین، در میکروکانال حلوانی جویا شد. زیرا که باعث مهاجرت ذره‌ها به سمت دیواره درونی کانال و درنتیجه افزایش میزان انتقال جرم می‌شود.

نتیجه‌گیری

شیبیه‌سازی مسائل پیچیده از چندین جنبه بسیار مورد توجه می‌باشد، که می‌توان به موارد صرفه جویی در وقت و هزینه و ایجاد دید بازتر در مسائل تجربی اشاره نمود. با هدف ارزیابی امکان انجام شیبیه‌سازی استخراج یون کلسیم، در سامانه میکروفلوریدیک، نخست کار آزمایشگاهی عبداللهی و همکاران برای امکان سنجی و تعیین میزان خطای شیبیه‌سازی نسبت به کار آزمایشگاهی در نظر گرفته شد. برای انجام این شیبیه‌سازی، نخست با روش تعیین تراز محل دقیق فصل مشترک تعیین شد. سپس با استفاده از مدل انتقال اجزاء رقیق^۱ میزان انتقال جرم از فاز آبی به آبی سنجیده شد. با توجه به نزدیک بودن نتیجه شیبیه‌سازی به نتیجه‌های آزمایشگاهی،

جدول ۵ - شرایط عملیاتی و نتیجه‌های کار شیبیه‌های میکروکانال حلوانی

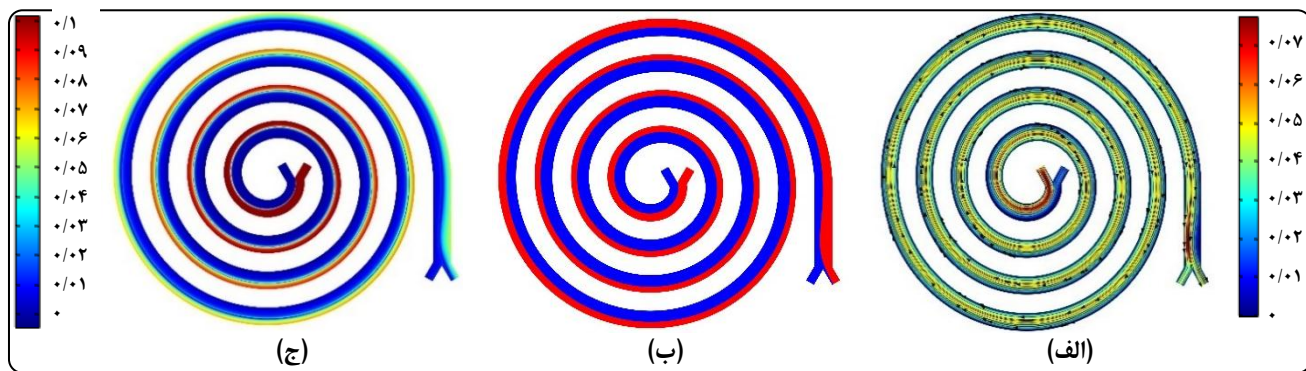
نتیجه‌های میکروکانال حلوانی شکل	
فاز آبی	
غلظت کلسیم کلرید فاز ورودی	۰/۰۰۵ مولار
شدت جریان فاز آبی	۲۸ میکرولیتر بر دقیقه سرعت $0/021$ متر بر ثانیه
غلظت کلسیم کلرید فاز خروجی	۰/۰۱۴۱۰ مولار
بازدهی استخراجی میکروفلوریدیک	%۷۹/۷۱
اندازه‌های میکروکانال: عرض 500 میکرومتر، طول 6 سانتی‌متر (چهار حلقه)	

مولار وارد شده و با انجام فرایند انتقال جرم که تنها به روش سازوکار نفوذ هست، مشاهده می‌شود که غلظت در کانال خروجی فاز آبی در بازه $0/002$ مولار خارج می‌باشد. در ادامه برای بهبود انتقال جرم همین مسئله در میکروکانال حلوانی شیبیه‌سازی و مقایسه می‌شود. شرایط عملیاتی و بازدهی استخراج به دست آمده از شیبیه‌سازی در این میکروکانال در جدول شماره ۵ آمده است.

هنگامی که سیال در کانال خمیده در جریان است زیر تأثیر نیروی گریز از مرکز قرار می‌گیرد (بر اساس شاعر انحنای کانال). در این حالت سرعت سیال نزدیک به دیواره بیرونی بیشتر از سرعت سیال نزدیک به دیواره درونی است. سیالی که نزدیک به دیواره بیرونی حرکت می‌کند، به نسبت دارای سرعت بیشتری است. در چنین شرایطی یک خلا ظاهری در مقابل جریان درونی وجود می‌آید و سیال نزدیک به دیواره بیرونی تمایل دارد به سمت دیواره درونی حرکت کند. این جریان چرخشی در میکروکانال منحنی از دیواره بیرونی به دیواره درونی را گردابه دین می‌نماید. به دلیل وجود این نوع حرکت در سیال، یک نیروی درگ به ذره‌های حمل شده توسط جریان وارد می‌شود و در متمرکز شدن ذره‌ها خیلی مؤثر می‌باشد [۴۸، ۴۹]. به طور کلی اگر یک ذره در کانال خمیده در مسیر جریان جای‌جا شود، نیروی برشی (F_{sl}) به علت جریان برشی سهموی، نیروی برشی دیواره (F_w)، نیروی درگ دین به علت اختلاف سرعت در کانال خمیده (F_D)، نیروی وزن ذره معلق در جریان (F_g) و نیروی شناوری را تجربه می‌کند [۲۹]. شکل ۱۹ نیروها را به صورت شماتیک نشان می‌دهد.

نتیجه‌های به دست آمده از شیبیه‌سازی مربوط به سرعت، کسر حجمی و غلظت در میکروکانال حلوانی در شکل شماره ۲۰ نشان

(۱) transport of diluted species



شکل ۲۰ - کانتور (الف) سرعت (ب) کسرهجمی (ج) غلظت یون کلسیم در شبیه‌سازی هیدرودینامیک و انتقال جرم میکروکanal حلقه‌ونی

حلقه‌ونی و نیروهای نوین وارد به ذرهای در طول مسیر انتقال جرم، میزان انتقال جرم در مقایسه با میکروکanal Y-Y، افزایش $\% ۱۹/۸۹$ داشت. خطای شبیه‌سازی کمتر از $\% ۳/۶$ نسبت به نتیجه‌های آزمایشگاهی اعتبار بالای مدل ارایه شده را نشان می‌دهد.

مدل ارایه شده، مناسب ارزیابی می‌شود. با در نظر گرفتن نتیجه به دست آمده شده و دقت مناسب اعتبار سنجی، برای بهبود و مطالعه تأثیر هندسه میکروکanal، هندسه به حلقوی شکل تغییر داده شد. به منظور مطالعه عامل‌های مؤثر بر فرایند، از طراحی آزمایش روش رویه پاسخ - طرح مکعب مرکزی^۱ استفاده شد. چهار عامل شدت جریان فاز آبی، شدت جریان فاز آبی، غلظت کلسیم کلرید و تعداد حلقه میکروکanal طی ۳۰ ران شبیه‌سازی مورد بررسی قرار گرفت. در شرایط بهینه میزان بازدهی استخراج در میکروکanal حلقه‌ونی $\% ۷۴/۹۸$ به دست آمد. با توجه به ویژگی‌های جریان در میکروکanal

تاریخ دریافت: ۱۷/۰۱/۱۷، تاریخ پذیرش: ۱۹/۰۷/۱۴۰۰

مراجع

- [1] Zhao C.X., Miller E., Cooper-White J.J., Middelberg A.P., [Effects of Fluid–Fluid Interfacial Elasticity on Droplet Formation in Microfluidic Devices](#), *AICHE Journal*, **57(7)**: 1669-1677 (2011).
- [2] Wörner M., [Numerical Modeling of Multiphase Flows in Microfluidics and Micro Process Engineering: A Review of Methods and Applications](#), *Microfluidics and nanofluidics*, **12(6)**: 841-886 (2012).
- [3] Plouffe P., Roberge D.M., Sieber J., Bittel M., Macchi A., [Liquid–Liquid Mass Transfer in a Serpentine Micro-Reactor Using Various Solvents](#), *Chemical Engineering Journal*, **285**: 605-615 (2016).
- [4] Plouffe P., Roberge D.M., Macchi A., [Liquid–Liquid Flow Regimes and Mass Transfer in Various Micro-Reactors](#), *Chemical Engineering Journal*, **300**: 9-19 (2016).
- [5] Marques M., Fernandes P., Cabral J., Žnidaršič-Plazl P., Plazl I., [On the Feasibility of in Situ Steroid Biotransformation and Product Recovery in Microchannels](#), *Chemical Engineering Journal*, **160(2)**: 708-714 (2010).

(۱) Response Surface Methodology - Central Composite Design

- [6] Aota A., Mawatari K., Kitamori T., *Parallel Multiphase Microflows: Fundamental Physics, Stabilization Methods and Applications, Lab on a Chip*, **9(17)**: 2470-2476 (2009).
- [7] Sattari-Najafabadi M., Esfahany M.N., *Hexavalent Chromium Extraction from Aqueous Solutions in a Liquid-Liquid Slug Flow Microreactor, Chemical Engineering and Processing-Process Intensification*, **157**: 108156 (2020).
- [8] Sattari-Najafabadi M., Esfahany M.N., Wu Z., Sundén B., *Mass Transfer between Phases in Microchannels: A Review, Chemical Engineering and Processing-Process Intensification*, **127**: 213-237 (2018).
- [9] Liu G., Wang K., Lu Y., Luo G., *Liquid–Liquid Microflows and Mass Transfer Performance in Slit-Like Microchannels, Chemical Engineering Journal*, **258**: 34-42 (2014).
- [10] Sattari-Najafabadi M., Esfahany M.N., Wu Z., Sundén B., *Hydrodynamics and Mass Transfer in Liquid-Liquid Non-Circular Microchannels: Comparison of Two Aspect Ratios and Three Junction Structures, Chemical Engineering Journal*, **322**: 328-338 (2017).
- [11] Sadeghi A., Amini Y., Saidi M.H., Chakraborty S., *Numerical Modeling of Surface Reaction Kinetics in Electrokinetically Actuated Microfluidic Devices, Analytica chimica acta*, **838**: 64-75 (2014).
- [12] Sadeghi A., Amini Y., Saidi M.H., Yavari H., *Shear-Rate-Dependent Rheology Effects on Mass Transport and Surface Reactions in Biomicrofluidic Devices, AIChE Journal*, **61(6)**: 1912-1924 (2015).
- [13] Jahromi P.F., Karimi-Sabet J., Amini Y., Fadaei H., *Pressure-Driven Liquid-Liquid Separation in Y-Shaped Microfluidic Junctions, Chemical Engineering Journal*, **328**: 1075-1086 (2017).
- [14] Sattari-Najafabadi M., Nasr Esfahany M., Wu Z., Sundén B., *The Effect of the Size of Square Microchannels on Hydrodynamics and Mass Transfer During Liquid-Liquid Slug Flow, AIChE Journal*, **63(11)**: 5019-5028 (2017).
- [15] Anandan P., *Two Phase Microfluidics: New Trend in Model Identification*, (2013).
- [16] Kashid N.M., Renken A., Kiwi-Minsker L., *Influence of Flow Regime on Mass Transfer in Different Types of Microchannels, Industrial & Engineering Chemistry Research*, **50(11)**: 6906-6914 (2011).
- [17] Cao Z., Wu Z., Sattari Najafabadi M., Sundén B., *Liquid-Liquid Flow Patterns in Microchannels, American Society of Mechanical Engineers*, V002T010A013, (2017).
- [18] Abdollahi P., Karimi-Sabet J., Moosavian M.A., Amini Y., *Microfluidic Solvent Extraction of Calcium: Modeling and Optimization of the Process Variables, Separation and Purification Technology*, **231**: 115875 (2020).
- [19] Kishimoto T., Matsuoka K., Fukumoto T., Umehara S., *Calcium Isotope Enrichment by Means of Multi-Channel Counter-Current Electrophoresis for the Study of Particle and Nuclear Physics, Progress of Theoretical and Experimental Physics*, **2015(3)**: (2015).
- [20] Gussone N., Dietzel M., *Calcium Isotope Fractionation During Mineral Precipitation from Aqueous Solution*, Springer, 75-110 (2016).

- [21] Sattari-Najafabadi M., Esfahany M.N.N., **Intensification of Liquid-Liquid Mass Transfer in a Circular Microchannel in the Presence of Sodium Dodecyl Sulfate**, *Chemical Engineering and Processing: Process Intensification*, **117**: 9-17 (2017).
- [22] Farahani A., Rahbar-Kelishami A., Shayesteh H., **Microfluidic Solvent Extraction of Cd (II) in Parallel Flow Pattern: Optimization, Ion Exchange, and Mass Transfer Study**, *Separation and Purification Technology*, **258**: 118031 (2021).
- [23] Marsousi S., Karimi-Sabet J., Moosavian M.A., Amini Y., **Liquid-Liquid Extraction of Calcium Using Ionic Liquids in Spiral Microfluidics**, *Chemical Engineering Journal*, **356**: 492-505 (2019).
- [24] Foroozan P., Karimi-sabet J., Amini Y., **Ion-Pair Extraction-Reaction of Calcium Using Y-Shaped Micro Fluidic Junctions: An Optimized Separation Approach**, *Chemical Engineering Journal*, **334**: 2603-2615 (2018).
- [25] Hibara A., Tokeshi M., Uchiyama K., HISAMOTO H., KITAMORI T., **Integrated Multilayer Flow System on a Microchip**, *Analytical sciences*, **17(1)**: 89-93 (2001).
- [26] Kim H.-B., Ueno K., Chiba M., Kogi O., Kitamura N., **Spatially-Resolved Fluorescence Spectroscopic Study on Liquid/Liquid Extraction Processes in Polymer Microchannels**, *Analytical sciences*, **16(8)**: 871-876 (2000).
- [27] Žnidaršič-Plazl P., Plazl I., **Steroid Extraction in a Microchannel System—Mathematical Modelling and Experiments**, *Lab on a Chip*, **7(7)**: 883-889 (2007).
- [28] Hazama R., Tatewaki Y., Kishimoto T., Matsuoka K., Endo N., Kume K., Shibahara Y., Tanimizu M., **Challenge on Ca-48 Enrichment for Candles Double Beta Decay Experiment**, *arXiv preprint arXiv:0710.3840*, (2007).
- [29] Russom A., Gupta A.K., Nagrath S., Di Carlo D., Edd J.F., Toner M., **Differential Inertial Focusing of Particles in Curved Low-Aspect-Ratio Microchannels**, *New journal of physics*, **11(7)**: 075025 (2009).
- [30] Sun J., Liu C., Li M., Wang J., Xianyu Y., Hu G., Jiang X., **Size-Based Hydrodynamic Rare Tumor Cell Separation in Curved Microfluidic Channels**, *Biomicrofluidics*, **7(1)**: 011802 (2013).
- [31] Madenci E., Guven I., "The Finite Element Method and Applications in Engineering Using Ansys®", Springer, (2015).
- [32] Bathe K.J., **Finite Element Method**, *Wiley encyclopedia of computer science and engineering*: 1-12 (2007).
- [33] Amini Y., Karimi-Sabet J., Esfahany M.N., **Experimental and Numerical Simulation of Dry Pressure Drop in High-Capacity Structured Packings**, *Chemical Engineering & Technology*, **39(6)**: 1161-1170 (2016).
- [34] Deshpande K.B., Zimmerman W.B., **Simulation of Interfacial Mass Transfer by Droplet Dynamics Using the Level Set Method**, *Chemical Engineering Science*, **61(19)**: 6486-6498 (2006).

- [35] Olsson E., Kreiss G., A Conservative Level Set Method for Two Phase Flow, *Journal of computational physics*, **210(1)**: 225-246 (2005).
- [36] Osher S., Sethian J.A., Fronts Propagating with Curvature-Dependent Speed: Algorithms Based on Hamilton-Jacobi Formulations, *Journal of computational physics*, **79(1)**: 12-49 (1988).
- [37] Sattari-Najafabadi M., Sundén B., Wu Z., Nasr Esfahany M., Influence of Physical Properties of Phases on Hydrodynamics and Mass Transfer Characteristics of a Liquid-Liquid Circular Microchannel, American Society of Mechanical Engineers, V001T003A003 (2016).
- [38] Amini Y., Nasr Esfahany M., CFD Simulation of the Structured Packings: A Review, *Separation science and technology*, **54(15)**: 2536-2554 (2019).
- [39] Ismail M., Level Set and Phase Field Methods: Application to Moving Interfaces and Two-Phase Fluid Flows, *Claremont Graduate University, Claremont*: (2007).
- [40] Najafabadi H.H., Moraveji M.K., CFD Investigation of Local Properties of Al₂O₃/Water Nanofluid in a Converging Microchannel under Imposed Pressure Difference, *Advanced Powder Technology*, **28(3)**: 763-774 (2017).
- [41] Bird R.B., Transport Phenomena, *Appl. Mech. Rev.*, **55(1)**: R1-R4 (2002).
- [42] Amini Y., Karimi-Sabet J., Esfahany M.N., Experimental and Numerical Study of Multiphase Flow in New Wire Gauze with High Capacity Structured Packing, *Chemical Engineering and Processing: Process Intensification*, **108**: 35-43 (2016).
- [43] Pali H.S., Sharma A., Kumar N., Singh Y., Biodiesel Yield and Properties Optimization from Kusum Oil by RSM, *Fuel*, **291**: 120218 (2021).
- [44] Silva G.F., Camargo F.L., Ferreira A.L., Application of Response Surface Methodology for Optimization of Biodiesel Production by Transesterification of Soybean Oil with Ethanol, *Fuel Processing Technology*, **92(3)**: 407-413 (2011).
- [45] Ahmad T., Danish M., Kale P., Geremew B., Adelaju S.B., Nizami M., Ayoub M., Optimization of Process Variables for Biodiesel Production by Transesterification of Flaxseed Oil and Produced Biodiesel Characterizations, *Renewable Energy*, **139**: 1272-1280 (2019).
- [46] Montgomery D.C., "Design and Analysis of Experiments", John wiley & sons, (2017).
- [47] Yagodnitsyna A.A., Kovalev A.V., Bilsky A.V., Flow Patterns of Immiscible Liquid-Liquid Flow in a Rectangular Microchannel with T-Junction, *Chemical Engineering Journal*, **303**: 547-554 (2016).
- [48] Schaap A., Dumon J., Den Toonder J., Sorting Algal Cells by Morphology in Spiral Microchannels Using Inertial Microfluidics, *Microfluidics and Nanofluidics*, **20(9)**: 1-11 (2016).
- [49] Warkiani M.E., Khoo B.L., Wu L., Tay A.K.P., Bhagat A.A.S., Han J., Lim C.T., Ultra-Fast, Label-Free Isolation of Circulating Tumor Cells from Blood Using Spiral Microfluidics, *Nature protocols*, **11(1)**: 134-148 (2016).